

УДК 537.632.4, 537.639

**ЛИНЕЙНОЕ ВОЗДЕЙСТВИЕ ЭЛЕКТРИЧЕСКОГО ПОЛЯ
НА ПРОЦЕССЫ НАМАГНИЧИВАНИЯ
В ПЛЕНКАХ ФЕРРИТОВ-ГРАНАТОВ**

Б. Б. Кричевцов, В. В. Павлов, Р. В. Писарев

Экспериментально и теоретически рассмотрена задача о влиянии электрического поля на процессы намагничивания магнитных пленок с одноосной магнитной анизотропией. Экспериментальные исследования проводились на эпитаксиальных пленках ферритов-гранатов $(YBi)_3(FeGa)_5O_{12}$ методом прецизионной оптической поляриметрии. Обнаружено «запрещенное» линейное по электрическому полю воздействие как в области движения магнитных доменных стенок, так и в области вращения намагниченности. Эти результаты служат первым однозначным доказательством существования в пленках области, в которой отсутствует центр инверсии. Теоретически решена задача о влиянии электрического поля на процессы намагничивания в предположении, что электрическое поле линейно воздействует как на величину константы одноосной анизотропии, так и на положение оси легкого намагничивания. Получено хорошее согласие между экспериментальными и теоретическими результатами.

Высококачественные эпитаксиальные пленки ферритов-гранатов являются одним из наиболее интересных объектов современной физики магнитных явлений [1-3], и многие особенности их свойств связаны с одноосной магнитной анизотропией (ОМА), возникающей в процессе роста пленки на кубической подложке. Для изучения природы ОМА используются различные методы, такие как варьирование химического состава пленок, состава и ориентации подложек, температуры роста и отжига и др. К настоящему времени предложено несколько механизмов образования ОМА, в частности магнитоупругий, связанный с деформацией пленки подложкой [4], и ростовой, где причиной служит ориентационное упорядочение ионов в додекаэдрических позициях или предпочтительное заполнение некоторых додекаэдрических позиций определенными редкоземельными ионами [5]. Однако многие экспериментальные факты не укладываются в рамки этих простых моделей, и исследования природы анизотропии новых экспериментальными методами представляется весьма актуальным с фундаментальной и с практической точек зрения [6].

Поскольку в числе основных источников магнитной анизотропии в кристаллах следует указать локальные электрические поля, создаваемые ионами-лигандами в месте расположения магнитных ионов (одноионная анизотропия), то можно ожидать, что внешние электрические поля могут оказывать заметное влияние на магнитную анизотропию. К настоящему времени исследования в этом направлении предпринимались только в применении к объемным кубическим ферримагнетикам [7-10]. Вследствие того что в редкоземельных ферритах-гранатах энергия магнитной анизотропии описывается сложными выражениями, а магнитная структура содержит 8 типов магнитных доменов, интерпретация экспериментов оставалась на качественном уровне [7, 10, 11]. В этом отношении эпитаксиальные пленки с ОМА представляют большой интерес, поскольку характеризуются простым выражением для магнитной анизотропии, а их магнитная структура содержит два типа доменов. В результате, как будет

показано в работе, описание влияния электрического поля на процессы намагничивания допускает аналитическое решение.

В литературе отсутствуют какие-либо сообщения об исследованиях влияния электрического поля на магнитные пленки, что, возможно, связано с трудностями, возникающими при использовании прямых методов, таких, например, как метод вращательных моментов, ферромагнитного резонанса или магнитоэлектрического эффекта. В данной работе мы сообщим о результатах изучения влияния электрического поля на процессы намагничивания, полученных методом прецизионной поляриметрии, и предложим их теоретическое объяснение.

1. Экспериментальная установка

Исследование влияния переменного электрического поля E на процессы намагничивания эпитаксиальных пленок ферритов-гранатов проводилось путем измерения эффекта Фарадея ($\mathcal{E}\Phi$) с помощью прецизионного поляриметра, описанного в [12]. Усовершенствования, внесенные в конструкцию поляриметра, позволили достичь чувствительности измерений модулированных поворотов плоскости поляризации света около $0.005''$ на длине волны $\lambda = 0.6328$ мкм. Немодулированные повороты плоскости поляризации в магнитном поле измерялись с точностью около $20''$.

Образцы представляли собой односторонние эпитаксиальные пленки висмутсодержащих ферритов-гранатов состава $(YBi)_3(FeGa)_5O_{12}$, выращенные на подложках типа (111) из гадолиний-галлиевого граната $Gd_3Ga_5O_{12}$. Параметры элементарных ячеек подложки и пленки составляли соответственно 12.384 и 12.438 Å, т. е. рассогласование составляло $\Delta a = 0.054$ Å. Толщина пленок ~ 4.7 , подложек ~ 490 мкм. Измерения показали, что температура Кюри $T_c = 415$ К. При комнатной температуре намагченность насыщения равнялась $4\pi M_s \approx 140$ Гс, а фарадеевское вращение $\sim 3.7^\circ$. Пленки обладали магнитной анизотропией типа «легкая ось», и исследования показали, что направление этой оси отличалось от направления нормали к плоскости пленки на величину $\sim 0.5^\circ$. Параллельно с измерениями ЭФ и его изменений под действием электрического и магнитного полей в установке осуществлялось прямое наблюдение доменной структуры и ее изменений с помощью поляризационного микроскопа и телевизионной установки ПТУ-60. В отсутствие внешних полей в пленке наблюдалась типичная лабиринтная структура с высоким контрастом.

Переменное электрическое поле величиной до 1 кВ с частотой 700 Гц прикладывалось к полупрозрачным платиновым электродам, один из которых находился на внешней стороне магнитной пленки, а другой — на внешней стороне подложки. Свет распространялся вдоль нормали к пленке, т. е. вдоль направления электрического поля.

К образцам могло прикладываться постоянное подмагничающее поле величиной до 200 Э вдоль нормали к пленке, т. е. вдоль оси легкого намагничивания, а также постоянное магнитное поле H величиной до 10 кЭ, направление которого могло меняться в пределах $\gamma \leq \pm 10^\circ$ относительно плоскости пленки. Магнитное поле измерялось датчиком Холла, помещенным рядом с образцом. Образцы могли поворачиваться вокруг направления распространения света в диапазоне углов $0 \leq \theta \leq 360^\circ$ с точностью до 1° .

2. Экспериментальные результаты

Было обнаружено, что приложение электрического напряжения U к системе эпитаксиальная пленка—подложка в геометрии, показанной на рис. 1, приводит к появлению линейных по электрическому полю поворотов плоскости поляризации света $\delta\alpha_E$, зависящих от магнитного состояния пленки. Квадратичных по электрическому полю эффектов [7, 10, 11], характерных для монокристаллов, зафиксировано не было. Это связано, по нашему мнению, с малой величиной электрического поля E , приложен-

ного к пленке, а также с малой толщиной пленки и с зернами размером M , что величина линейного эффекта в пленке по крайней мере на порядок больше, чем квадратичного эффекта в монокристаллах. Оценка возможного квадратичного эффекта в пленке, полученная на основании параметров, характерных для монокристаллов ферритов-гранатов [11], дает величину $\sim 0.04''$ при условии, что распределение поля E в системе подложка—пленка однородно.

На рис. 2 представлены зависимости угла поворота плоскости поляризации $\delta\alpha_E$ от величины магнитного поля H при $\gamma=0^\circ$, $U_m=600$ В для трех значений подмагничивающего поля. Во всех случаях при $H=0$ эффект отсутствует. Приложение поля H к предварительно монодоменизированному

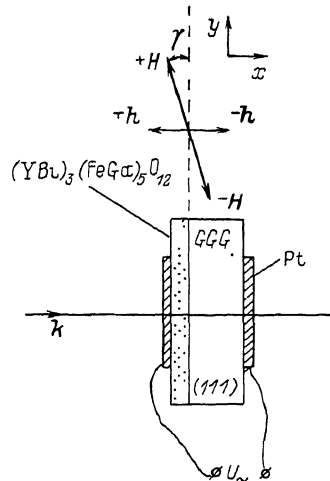


Рис. 1. Геометрия экспериментов по исследованию ЭМО эффекта в системе эпитаксиальная пленка—подложка.

образцу ($h=\pm 160$ Э) приводит к появлению $\delta\alpha_E$ с максимумом эффекта при $H \approx 4$ кЭ и уменьшением сигнала при $H > 4$ кЭ. Знак эффекта в данном случае определяется направлением насыщающего поля h или,

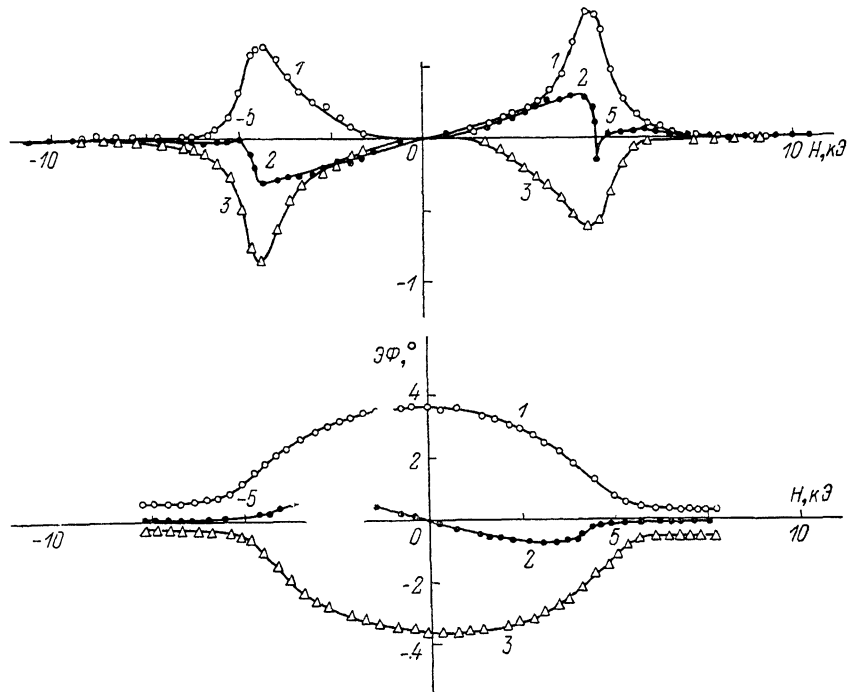


Рис. 2. Экспериментальные полевые зависимости $\delta\alpha_E(H)$ и ЭФ при $\gamma=-0.7^\circ$, $E=1.2 \cdot 10^4$ В/см для $h=160$ (1), 0 (2), -160 Э (3).

говоря более строго, знаком проекции намагниченности на направление k . При $h=0$, когда образец остается многодоменным, зависимость $\delta\alpha_E(H)$ существенно иная: в диапазоне $-4 \div +4$ кЭ сигнал линеен по H и резко

уменьшается при $H \approx \pm 4$ кЭ. Величина сигнала $\delta\alpha_E$ линейно зависит от электрического напряжения U_{\sim} . Полевые зависимости ЭФ при $h= \pm 160$ Э отражают изменение проекции M на направление k вследствие вращения вектора M в магнитном поле H . При $h=0$ величина ЭФ значительно меньше, поскольку образец находится в многодоменном состоянии и значение поля

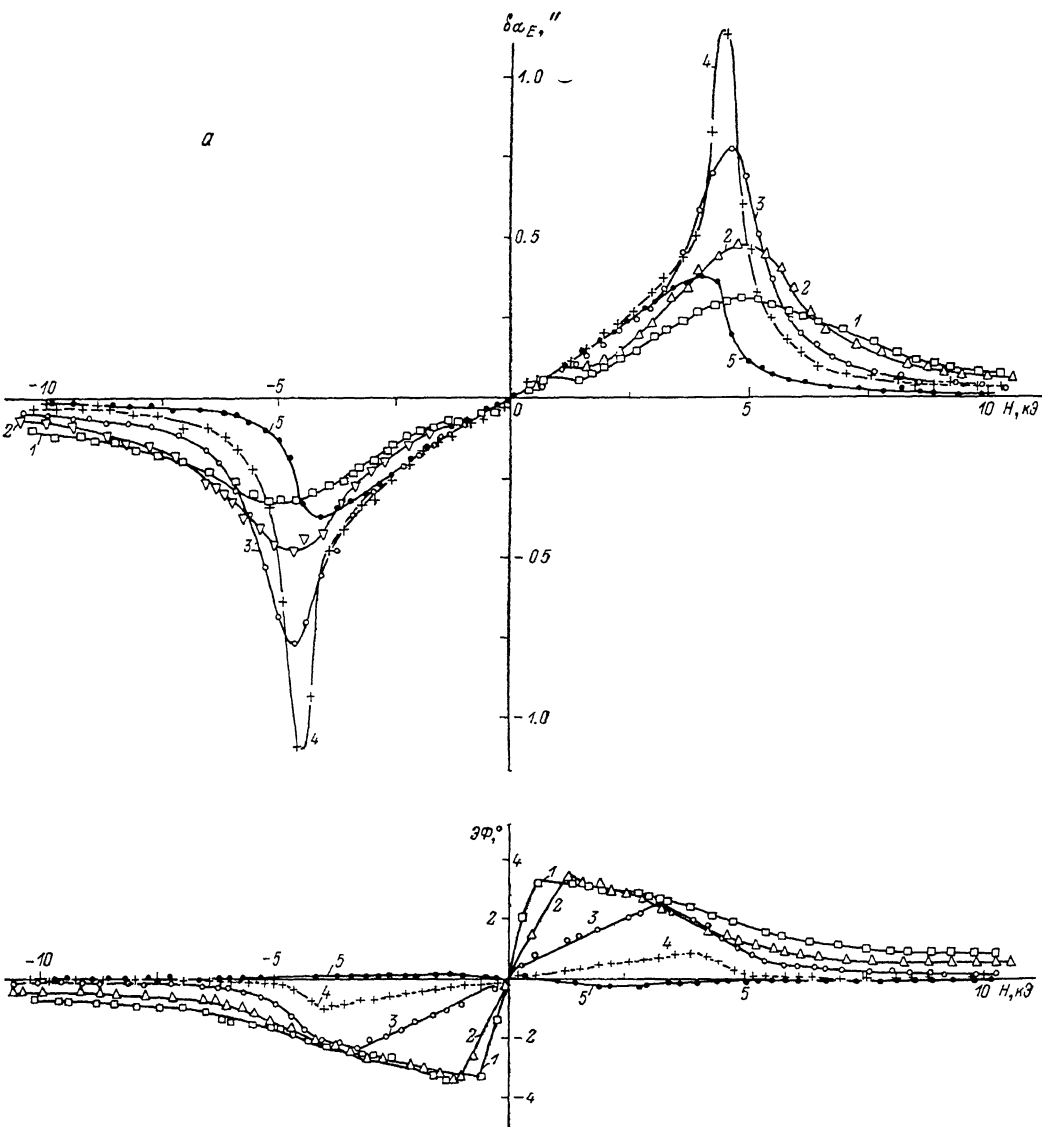


Рис. 3. Экспериментальные зависимости $\delta\alpha_E(H)$ при $h=0$, $E=1.2 \cdot 10^4$ В/см для $\gamma = -8.6$ (1), 4.6 (2), 2.6 (3), 0.4 (4), -0.5 (5), -0.9 (6), -2.2 (7), -3.8 (8), -7.8 (9) и соответствующие полевые зависимости ЭФ.

H вдоль оси легкого намагничивания недостаточно для исчезновения доменной структуры.

На рис. 3 представлены зависимости $\delta\alpha_E$ (а также величина ЭФ) от магнитного поля H при $h=0$ для различных направлений магнитного поля H (т. е. для разных γ). При $\gamma=-0.5^\circ$ зависимость $\delta\alpha_E(H)$ практически та же, что и на рис. 2 ($h=0$), однако даже небольшие изменения угла γ приводят к реальным изменениям этой зависимости, а именно к появлению мощных узких пиков $\delta\alpha_E$ при $H \approx \pm 4$ кЭ. При дальнейшем росте угла γ ширина пиков $\delta\alpha_E$ увеличивается, а их амплитуда падает. В отличие от за-

вистимостей рис. 2 ($h = \pm 160$ Э) знак в пиках (при $h=0$) определяется направлением поля H (при изменении поля H на $-H$ $\delta\alpha_E$ меняет знак). Однако следует учитывать, что в случае $h=0$, $\gamma \neq -0.5^\circ$ монодоменизация образца осуществляется полем H , поэтому, так же как и для $h \neq 0$ (рис. 2), знак эффекта $\delta\alpha_E$ в монодоменном состоянии соответствует знаку проекции M на k .

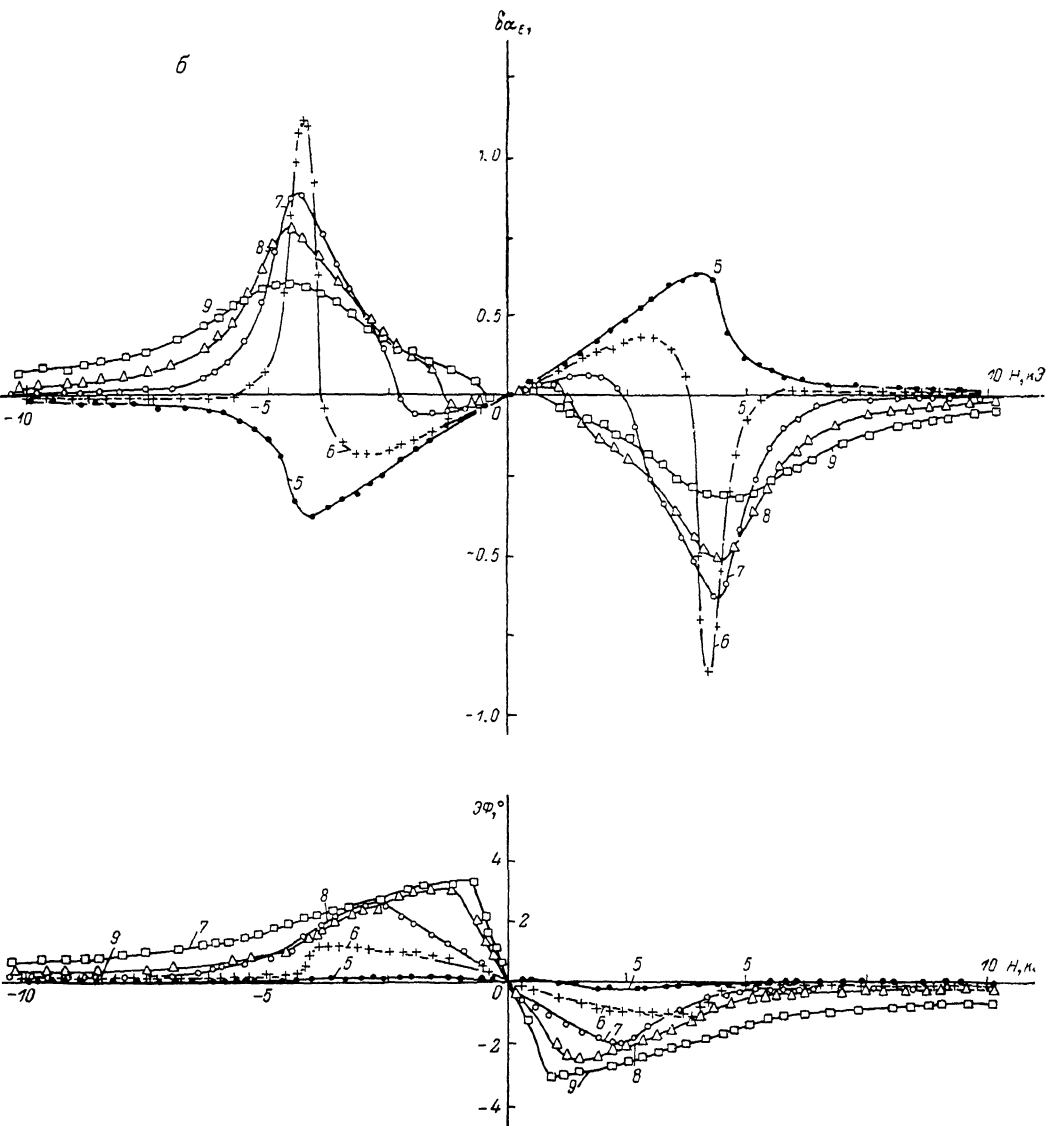


Рис. 3 (продолжение).

Полевые зависимости ЭФ представляют собой линейные функции поля H до тех пор, пока образец не монодоменизирован; резкий спад ЭФ при превышении определенного поля H_M отражает процесс перехода от режима движения доменных границ к режиму поворота намагниченности насыщенного образца. Величина H_M , естественно, уменьшается с увеличением угла γ . При $\gamma = -0.5^\circ$ ЭФ практически не появляется, т. е. образец не монодоменизируется. Намагниченности в доменах поворачиваются симметрично а доменные стеки не двигаются. Наблюдаемая лабиринтная доменная структура, не изменяясь по форме, постепенно теряет контраст. При этом $\delta\alpha_E(H)$ представляет собой линейную зависимость от H в диапазоне

$-4 \text{ кЭ} < H < 4 \text{ кЭ}$, резко спадающую при значениях $H > | \pm 4 | \text{ кЭ}$. Сравнивая полевые зависимости $\delta\alpha_E$ и ЭФ от магнитного поля H (рис. 2, 3), можно заключить, что сигнал $\delta\alpha_E$ в виде пиков (или максимумов) (обозначим его $\delta\alpha_E^{\text{мно}}$) соответствует монодоменному состоянию кристалла. Для многодоменного состояния характерна другая, линейная по H , зависимость $\delta\alpha_E(H)$, которую мы обозначим $\delta\alpha_E^{\text{мн}}$. Если знак $\delta\alpha_E^{\text{мно}}$ определяется проекцией M на k , то знак $\delta\alpha_E^{\text{мн}}$ от этого не зависит (рис. 2). Отметим, что аналогичные зависимости $\delta\alpha_E(H)$ наблюдались на пленках других составов, обладающих несколько иными магнитными параметрами ($H_s = 1.5 \text{ кЭ}$). Основное отличие в поведении $\delta\alpha_E(H)$ состоит в величинах амплитуд, характеризующих линейные зависимости $\delta\alpha_E^{\text{мн}}(H)$ и пики $\delta\alpha_E^{\text{мно}}$, что свидетельствует о различных механизмах этих явлений.

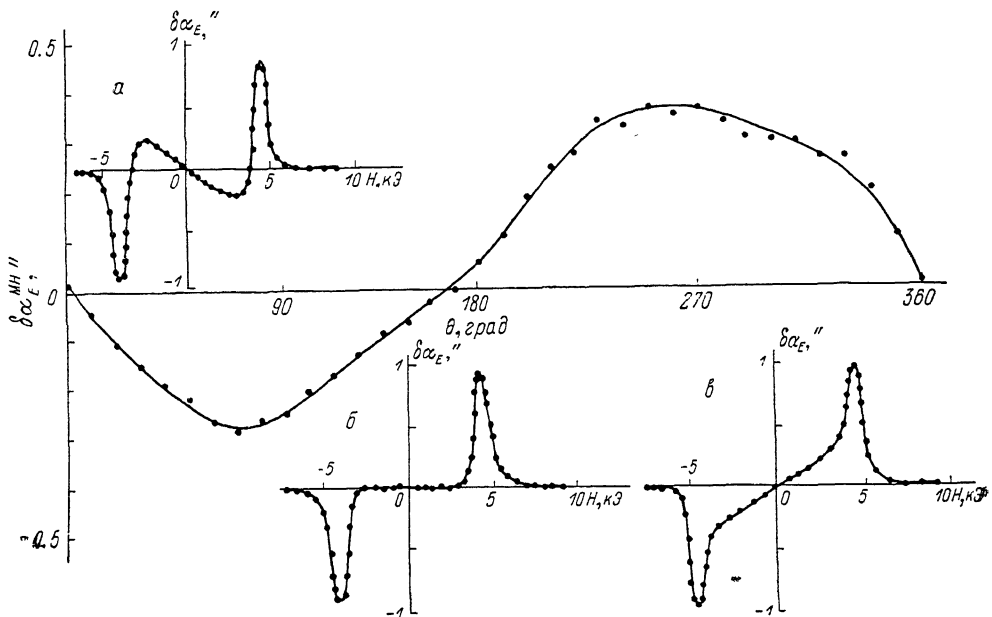


Рис. 4. Зависимость $\delta\alpha_E^{\text{мн}}(H)$ от угла θ при $E=1.2 \cdot 10^4 \text{ В/см}$ и полевые зависимости $\delta\alpha_E(H)$ для $\theta=90^\circ$ (a), 170° (b), 270° град (c).

На рис. 4 представлена зависимость $\delta\alpha_E^{\text{мн}}$ при $H=3 \text{ кЭ}$ от угла поворота образца θ вокруг оси, совпадающей с направлением распространения света, а также зависимости $\delta\alpha_E(H)$ для трех значений угла θ . Функция $\delta\alpha_E^{\text{мн}}$ от θ имеет период 360° , т. е. величину и знак $\delta\alpha_E^{\text{мн}}$ можно менять поворотом кристалла. Отметим, что величина и знак $\delta\alpha_E^{\text{мно}}$ при таких поворотах не изменяются.

Таким образом, мы имеем следующие основные черты наблюдаемого эффекта. 1) Величина эффекта $\delta\alpha_E$ является линейной функцией электрического поля. 2) Существуют два различных типа проявления $\delta\alpha_E$: $\delta\alpha_E^{\text{мн}}$, наблюдающееся в многодоменном состоянии и представляющее собой линейную по H зависимость, знак которой зависит от угла θ и не зависит от γ , и $\delta\alpha_E^{\text{мно}}$, характерное для монодоменного состояния, наблюдающееся в виде пиков, знак которых (при $h=0$) зависит от γ и не зависит от θ .

3. Теоретическое рассмотрение

Наблюдаемые повороты плоскости поляризации обусловлены ЭФ [13] и определяются проекцией суммарной намагниченности пленки M на направление распространения света k [14] и изменениями этой проекции под действием электрического поля. Рассмотрим процессы, происходящие

при намагничивании пленки с одноосной анизотропией при приложении полей H , \mathbf{H} и E . Приложение поля H к образцу, насыщенному полем \mathbf{h} , приводит к повороту намагченности M на некоторый угол ψ , величина которого определяется значениями полей H и h , а также величиной константы одноосной анизотропии K_u . Если электрическое поле меняет величину K_u , то вместе с ней изменяется угол ψ и проекция M на k . Пусть, например, приложение E увеличит K_u , тогда M повернется к оси легкого намагничивания. При этом, очевидно, изменение проекции M будет иметь разный знак в зависимости от того, какова была проекция M на k .

Следует также учесть, что электрическое поле может приводить к повороту направления оси легкого намагничивания, поскольку в реальных пленках это направление может не совпадать с перпендикуляром к поверхности образца и с осью типа [111] [15, 16]. Легко показать, что поворот оси легкого намагничивания должен приводить к изменению ΔM одного знака для состояний с противоположными проекциями M на k .

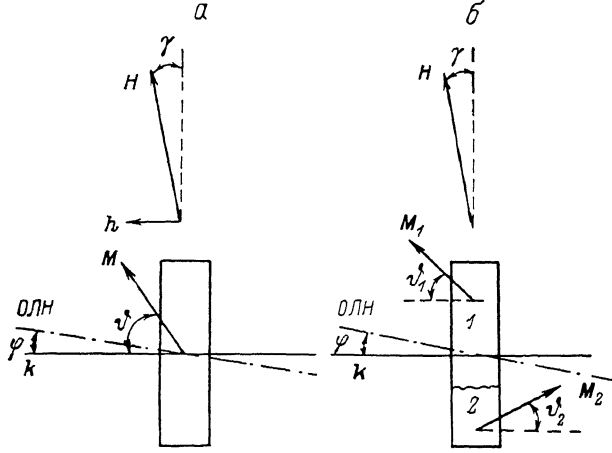


Рис. 5. Взаимное расположение векторов k , H , h , M и направление ОЛН для двух моделей, использованных для расчета $\delta\alpha_E(H)$: с подмагничивающим полем (a), в отсутствие подмагничивающего поля h (b).

Приложение поля H к многодоменному образцу ($h=0$) приведет к двум процессам: к постепенной монодоменизации образца за счет проекции H на направление легкой оси и к повороту намагченности M в доменах по направлению к H . Возможен также случай, когда образец не монодоменизируется и намагченности в доменах поворачиваются симметрично. При этом проекции суммарной намагченности на k не возникает. Тем не менее, как будет показано ниже, влияние электрического поля будет проявляться и в этом случае.

1. Для получения зависимости $\delta\alpha_E(H)$ рассмотрим потенциал, описывающий взаимодействие намагченности пленки с магнитным полем (рис. 5, a)

$$W = \left[\frac{\alpha}{2} + \sin^2(\vartheta - \varphi) - (H_{\perp} + h) \cos \vartheta - H_{\parallel} \sin \vartheta + \frac{r}{2} \cos^2 \vartheta \right] M_s, \quad (1)$$

где $\alpha = -2K_u/M_s$; $r = 4\pi M_s$; φ — угол, определяющий положение оси легкого намагничивания; H_{\perp} , H_{\parallel} — проекции поля H на оси x и y . Первый член в (1) описывает одноосную магнитную анизотропию, последний — энергию полей размагничивания, остальные — энергию взаимодействия намагченности M с магнитными полями H и h . Минимизируя (1) по ϑ , получаем выражение для поля H

$$H = \left[\frac{\alpha}{2} \sin 2(\vartheta - \varphi) - \frac{r}{2} \sin 2\vartheta + h \sin \vartheta \right] / \cos(\gamma + \vartheta). \quad (2)$$

Изменения величин α и φ в электрическом поле ($\Delta\alpha$ и $\Delta\varphi$) приведут к изменению зависимости $H(\vartheta)$ (2), которые можно записать в виде

$$\Delta H = \left[\frac{\Delta\alpha}{2} \sin 2(\vartheta - \varphi) - \alpha \cos 2(\vartheta - \varphi) \Delta\varphi \right] / \cos(\gamma + \vartheta). \quad (3)$$

При этом изменение угла ϑ , вызванное наличием $\Delta\alpha$ и $\Delta\varphi$ ($\Delta\alpha \ll \alpha$, $\Delta\varphi \ll \varphi$), легко определить по формуле

$$\Delta\vartheta = \Delta H / (dH/d\vartheta) \quad (4)$$

и получить изменение проекции намагниченности на ось x

$$\Delta M = M_s \sin \vartheta \frac{(\Delta\alpha/2) \sin 2(\vartheta - \varphi) - \Delta\varphi \alpha \cos 2(\vartheta - \varphi)}{h \cos \vartheta + \alpha \cos 2(\vartheta - \varphi) - r \cos 2\vartheta + H \sin(\gamma + \vartheta)}. \quad (5)$$

При помощи выражений (2) и (5) мы рассчитывали полевые зависимости ЭФ и $\delta\alpha_E$ на ЭВМ, используя следующие значения параметров: $\alpha=4$ кЭ, $\varphi=0.5^\circ$, $h=160$ (1), 0 (2), -160 Э (3).

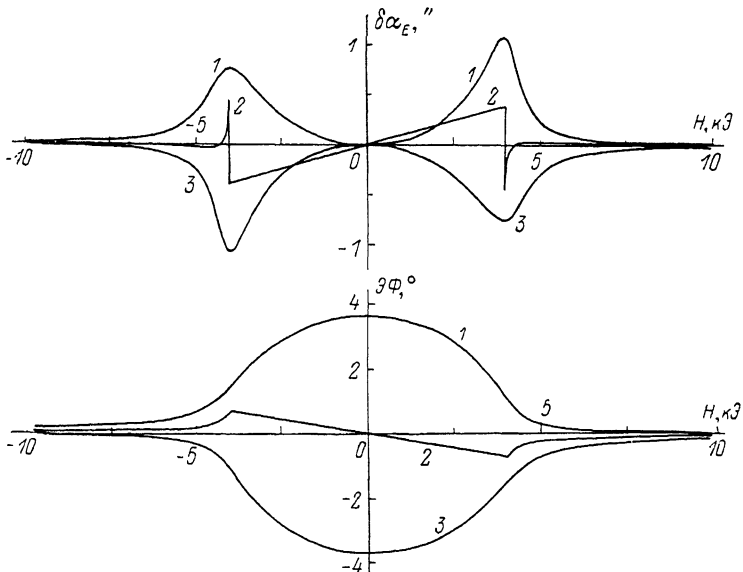


Рис. 6. Рассчитанные зависимости $\delta\alpha_E(H)$ при $\Delta\alpha=0.15$ Э, $\Delta\varphi=0.24''$ и соответствующие зависимости ЭФ. $h=160$ (1), 0 (2), -160 Э (3).

$\varphi=0.5^\circ$, $h=\pm 160$ Э, $r=140$ Э, $\Delta\alpha=0.15$ Э, $\Delta\varphi=0.24''$. Результаты расчета представлены на рис. 6 (кривые ± 160 Э). Параметры $\Delta\alpha$ и $\Delta\varphi$ подбирались для наилучшего совпадения с экспериментом. Отметим, что в данном случае наибольший вклад в $\delta\alpha_E$ обусловлен появлением $\Delta\alpha$, а вклад от $\Delta\varphi$ значительно слабее (пренебрежимо мал).

2. Рассмотрим теперь случай $h=0$, т. е. когда начальное состояние образца является многодоменным. Термодинамический потенциал в этом случае запишем в следующем виде:

$$W = \left\{ \frac{1+V}{2} \left[\frac{\alpha}{2} \sin^2(\vartheta_1 - \varphi) - H_\perp \cos \vartheta_1 - H_\parallel \sin \vartheta_1 \right] + \right. \\ \left. + \frac{1-V}{2} \left[\frac{\alpha}{2} \sin^2(\vartheta_2 + \varphi) + H_\perp \cos \vartheta_2 - H_\parallel \sin \vartheta_2 \right] + \right. \\ \left. + \frac{r}{2} \left[\frac{1+V}{2} \cos \vartheta_1 - \frac{1-V}{2} \cos \vartheta_2 \right]^2 \right\} M_s, \quad (6)$$

где $V=(V_1-V_2)/V_0$; $V_{1(2)}$ — объем, занимаемый доменом 1 (2); V_0 — объем кристалла ($V=\pm 1$ соответствуют монодоменным состояниям; $V=0$ — многодоменному с одинаковыми объемами доменов); ϑ_i — углы, характеризующие направления M в доменах 1 и 2. В многодоменной области до тех

пор, пока образец не насыщен, необходимо минимизировать (6) по V , ϑ_1 и ϑ_2 . Минимизация по V означает, что отсутствует жесткое закрепление доменных стенок и внешние поля могут вызывать перераспределение объемов доменов. В монодоменной области можно считать $V=1$ и потенциал (6) практически совпадает с (1) при $h=0$. Опуская довольно громоздкие выкладки, приведем результаты точного решения этой задачи. В многодоменной области проекция M на k записывается виде

$$M = M_s (H_{\perp} + H_{\parallel} \operatorname{tg} \varphi) / r, \quad (7)$$

т. е. не зависит от величины a (т. е. K_a) и изменений a в электрическом поле. Это происходит за счет того, что изменения направлений намагниченностей доменов, вызванные появлением Δa , полностью компенсируются изменением объемов доменов вследствие движения доменных стенок. Таким образом, единственной причиной существования δa_E в этой области может служить появление $\Delta\varphi$. Важно отметить, что, как следует из (7), в этом случае $\delta a_E^{\text{мн}}$ будет линейно зависеть от H_{\parallel}

$$\Delta M = M_s H_{\parallel} \Delta\varphi / r \cos^2 \varphi. \quad (8)$$

Физически появление ΔM (8) обусловлено тем, что при повороте оси легкого намагничивания теряется эквивалентность доменов относительно поля H_{\parallel} . Один тип доменов становится более «выгодным» и его объем увеличивается, другой соответственно уменьшается. Зависимость V от поля H и φ имеет следующий вид:

$$V = [a H_{\perp} \cos \varphi + (a + r) \sin \varphi H_{\parallel}] / r (\alpha^2 \cos^2 \varphi - H_{\parallel}^2)^{1/2} \cos \varphi.$$

Таким образом, эффект $\delta a_E^{\text{мн}}$ связан с перераспределением объемов доменов, т. е. с движением доменных стенок.

Магнитное поле H , необходимое для монодоменизации образца, записывается в виде

$$H_M = a r \cos^2 \varphi / [(\alpha \cos \varphi \sin \gamma + (a + r) \sin \varphi \cos \gamma)^2 + r^2 \cos^2 \gamma \cos^2 \varphi]^{1/2}. \quad (9)$$

Когда H превышает H_M , для расчета ΔM можно пользоваться формулами (2)–(5), положив $h=0$. В этом случае δa_E будет наблюдаться в виде пиков и в основном определяться величиной Δa . Однако если магнитное поле H приложено так, что монодоменизация не наступает (при $\gamma=-0.5^\circ$ и $H_{\perp}=0$), зависимость $\delta a_E(H)$ будет линейной функцией H (без пиков), обрывающейся при схлопывании намагниченостей в доменах при $H=a$. На рис. 7 представлены рассчитанные зависимости $\delta a_E(H)$ для различных углов γ .

Важно отметить, что эффект $\delta a_E^{\text{мн}}$ в многодоменной области, определяемый $\Delta\varphi$, возможен лишь в том случае, если при повороте легкой оси изменяется проекция поля H на эту ось. Этим объясняется зависимость $\delta a_E^{\text{мн}}$ от поворота образца относительно оси, совпадающей к k . Исчезновение эффекта соответствует положениям оси, когда $\Delta\varphi \perp H$.

Основным экспериментальным результатом данной работы является обнаружение линейного по электрическому полю сильного воздействия на процессы намагничивания в эпитаксиальных пленках ферритов-гранатов. Этим пленкам качественно отличаются от монокристаллов ферритов-гранатов, имеющих центросимметричную кубическую структуру O_h^{10} , в которых наблюдается квадратичный электромагнитооптический эффект типа $E^2 H$. Линейный по электрическому полю эффект в монокристаллах феррогранатов наблюдался только в области дефектов кристаллической структуры [17], а также в иттриевом феррогранате при температурах ниже ~ 120 К при охлаждении кристалла в постоянном электрическом поле [18]. Наблюдение в пленках линейного эффекта типа EH однозначно свидетельствует об отсутствии либо во всей пленке, либо в какой-то ее области центра инверсии, а также плоскости симметрии типа (111). Причиной,

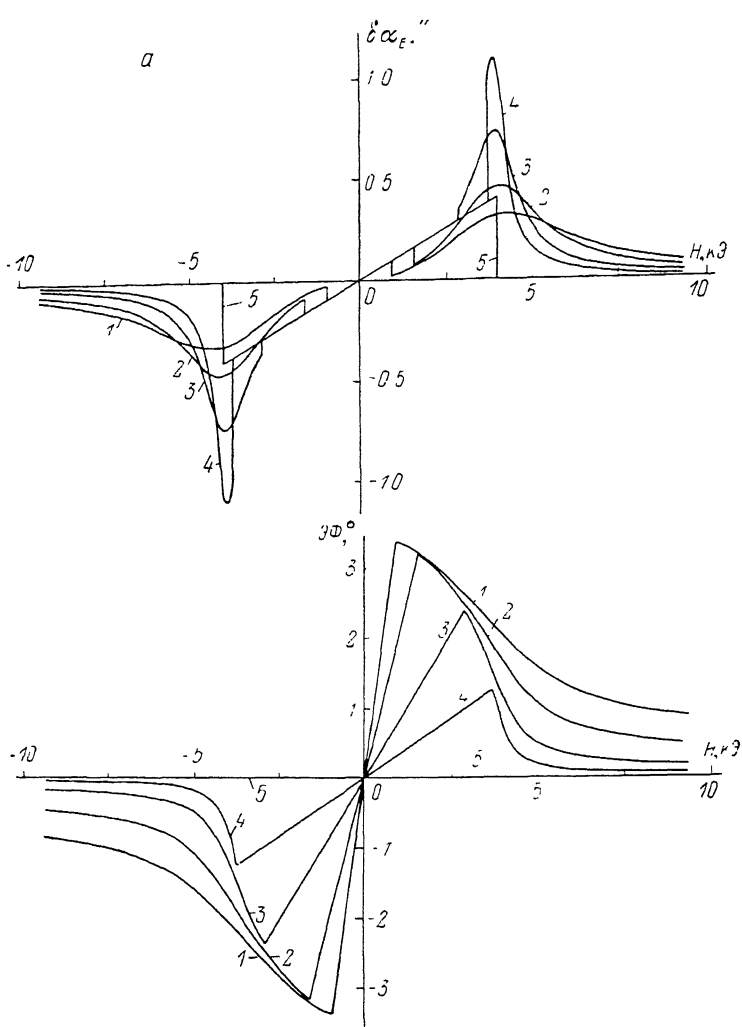


Рис. 7. Рассчитанные зависимости $\delta\alpha_B(H)$ при $h=0$ для $\gamma=8.6$ (1), 4.6 (2), 2.6 (3), 0.4 (4), -0.5 (5), -0.9 (6), -2.2 (7), -3.8 (8), -7.8 (9) и соответствующие зависимости $\Delta\Phi$.

вызывающей понижение кристаллографической симметрии пленки, может быть неоднородная деформация по толщине вследствие рассогласования параметров подложки и пленки. Очевидно, что наибольшие деформации должны возникать в граничном слое пленка—подложка, и физические свойства такого слоя могут существенно отличаться от свойств остального объема пленки [19]. Этот вопрос требует дальнейших целенаправленных исследований.

То обстоятельство, что пленки характеризуются не кубической, а одноосной анизотропией, позволило получить аналитическое решение задачи о намагничивании пленок в присутствии магнитных и электрических полей. Рассмотрение показало, что имеются два основных механизма воздействия электрического поля на процессы намагничивания. Один из них связан с влиянием электрического поля на коэффициент одноосной магнитокристаллографической анизотропии K_u , что хорошо проявляется в экспериментах на монодоменизированной пленке. Второй механизм связан с изменением под действием электрического поля ориентации оси легкого намагничивания, и он проявляется в многодоменном состоянии. Выявление микроскопических механизмов линейного воздействия электрического поля на коэффициент одноосной анизотропии и на ориентацию легкой оси

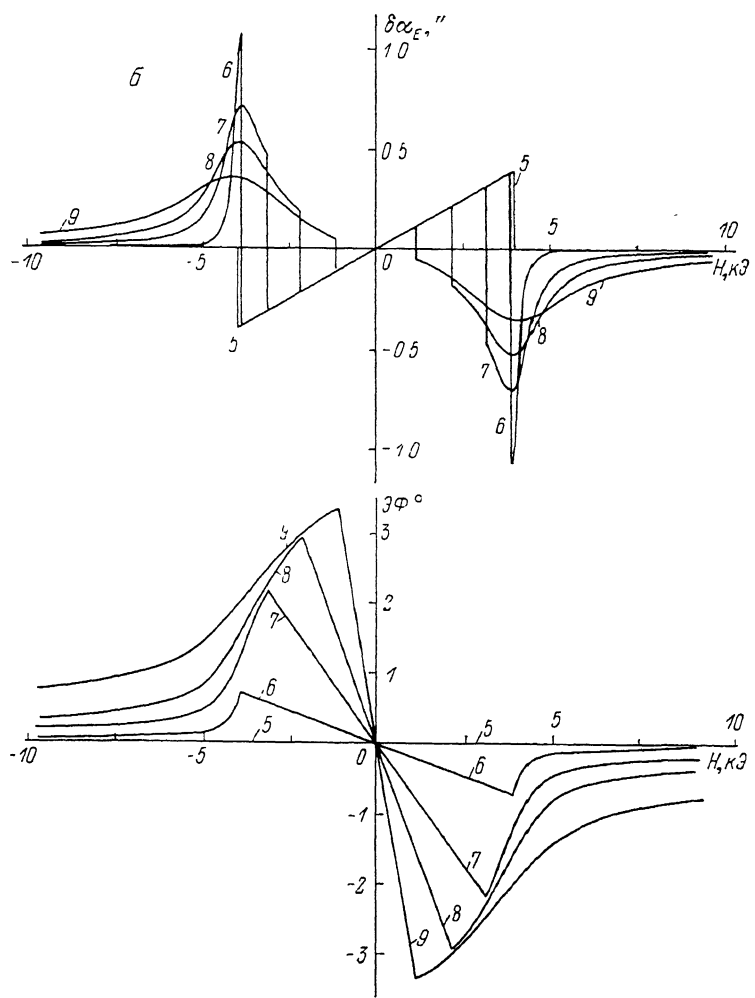


Рис. 7 (продолжение).

требует дальнейших исследований. В качестве одного из возможных механизмов можно указать на пьезоэлектрический эффект, вызывающий линейное по электрическому полю изменение параметров ячейки нецентро-симметричного слоя, что может вызвать соответствующие деформации во всем объеме пленки.

Авторы благодарят В. Н. Гриднева за полезные обсуждения результатов работы, а также М. В. Красинькову за помощь в нанесении прозрачных электродов и Н. В. Зайцеву за определение параметров элементарных ячеек пленки и подложки.

Список литературы

- [1] Эшенфельдер А. Физика и техника цилиндрических магнитных доменов. М.: Мир, 1983. 496 с.
- [2] Малоземов А., Слонзуски Дж. Доменные стенки в материалах с цилиндрическими магнитными доменами. М.: Мир, 1982. 382 с.
- [3] Бобек Э., Делла Торре Э. Цилиндрические магнитные домены. М.: Энергия, 1977. 190 с.
- [4] Тикадзути С. Физика ферромагнетизма. М.: Мир, 1987. 420 с.
- [5] Rosenzwaig A., Tabor W. J. // AIP Conf. Proc. 1972. V. 5. P. 57—70.
- [6] Звездин А. К., Котов В. А. Магнитооптика тонких пленок. М.: Наука, 1988. 190 с.
- [7] Vellaud G., Sanagare B., Mercier M. // JMMM. 1983. V. 31—34. P. 865—866.

- [8] Rado G. T., Ferrari J. M., Remeika J. P. // J. Appl. Phys. 1978. V. 49. N 3. P. 1953—1955.
- [9] Перекалина Т. М., Желудев И. С., Смирновская Е. М., Фонтон С. С., Коноплев Н. А. // ФТТ. 1971. Т. 16. № 1. С. 199—201.
- [10] Mercier M. in: Magnetoelectric interaction phenomena in crystals / Ed. Freeman A. J., Schmid H. Gordon and Breach, London, 1975. P. 99—110.
- [11] Кричевцов Б. Б., Писарев Р. В., Селицкий А. Г. // ФТТ. 1988. Т. 30. № 7. С. 2139—2147.
- [12] Кричевцов Б. Б., Павлов В. В., Писарев Р. В. // ЖЭТФ. 1988. Т. 94. № 2. С. 284—295.
- [13] Физика магнитных диэлектриков / Под ред. Смоленского Г. А. Л.: Наука, 1974. С. 451.
- [14] Ландau Л. Д., Лифшиц Е. М. Электродинамика сплошных сред. М.: Наука, 1982. 620 с.
- [15] Malozemoff A. P., de Luca J. C. // J. Appl. Phys. 1974. V. 45. N 10. P. 4586—4589.
- [16] Аваева И. Г., Лисовский Ф. В., Щеглов В. И. // ФТТ. 1975. Т. 17. № 7. С. 2102—2105.
- [17] Pisarev R. V., Krichevtsow B. B., Pavlov V. V., Selitsky A. G. // J. Magn. Soc. Jpn. 1987. V. 11. N 31. P. 33—38.
- [18] Ogawa H., Kito E., Mochida Y., Kimura S., Tasaki A., Sitatori K. // J. Phys. Soc. Jpn. 1987. V. 56. N 2. P. 452—455.
- [19] Henry R. D., Whitcomb E. C. // Mat. Res. Bull. 1975. V. 10. P. 681—686.

Физико-технический институт
им. А. Ф. Иоффе АН СССР
Ленинград

Поступило в Редакцию
27 января 1989 г.